

ПРИБЛИЖЕННАЯ МОДЕЛЬ
ДЛЯ РАСЧЕТА РАВНОВЕСНЫХ ТЕЧЕНИЙ
ХИМИЧЕСКИ РЕАГИРУЮЩИХ ГАЗОВ

УДК 541.121+534.222.2

Е. С. Прохоров

Институт гидродинамики им. М. А. Лаврентьева СО РАН,
630090 Новосибирск

Получены приближенные уравнения, описывающие с высокой точностью изменение молярной массы и удельной внутренней энергии, в том числе ее термодинамической и химической частей, при сдвиге химического равновесия газообразных продуктов сгорания углеводородов. Приближенная модель позволяет рассчитывать параметры детонации в точке Чепмена — Жуге с погрешностью до 1 %.

В приближенных моделях по сравнению с точными обычно используются дополнительные физические предположения, которые позволяют «отсеять» второстепенные детали изучаемого явления и упростить вид системы решаемых уравнений. Поэтому приближенные модели повышают наглядность получаемых результатов, облегчают теоретический анализ, существенно сокращают время счета на компьютере. Если к тому же они обладают и высокой точностью, что дает возможность не только качественно, но и количественно описывать явление, то ценность таких моделей возрастает.

В данной работе удалось в несколько раз повысить точность приближенной модели для описания равновесных течений реагирующих газов [1–4], которая является частным случаем модели кинетики при предположении о мгновенной химической реакции. Здесь приближенная модель равновесия рассмотрена с более общей точки зрения, без привязки к конкретному виду уравнений кинетики. Показана возможность ее использования для расчета параметров детонации взрывчатых смесей, приготовленных на основе углеводородных топлив.

ОСНОВНЫЕ ПОЛОЖЕНИЯ ПРИБЛИЖЕННОЙ МОДЕЛИ РАВНОВЕСИЯ

Предполагается, что при квазиравновесном протекании химической реакции можно выразить удельную (на единицу массы) внутреннюю энергию U и молярную массу μ реагирующей газовой смеси через температуру T и давление p . Отсюда при использовании уравнения состояния идеального газа

$$p = \rho RT / \mu \quad (1)$$

(R — газовая постоянная) следует, что удельную внутреннюю энергию можно представить в виде

$$U = U(T, \mu). \quad (2)$$

Кроме того, между μ , характеризующей химический состав смеси, T и плотностью ρ существует связь — уравнение сдвига равновесия $\mu = \mu(T, \rho)$. С учетом второго начала термодинамики это уравнение должно быть согласовано с выражением (2). Поэтому для принятых предположений (независимо от кинетики химической реакции) уравнение сдвига равновесия имеет следующий вид [4]:

$$\rho f(\mu) \exp \left[- \int \left(-\frac{\partial U}{\partial(1/\mu)} \right)_T \frac{dT}{RT^2} \right] = K = \text{const}, \quad (3)$$

где $f(\mu)$ — некоторая функция μ . Соотношения (1)–(3) позволяют замкнуть систему уравнений газовой динамики. При этом нет необходимости при вычислительном итерационном процессе каждый раз дополнительно решать (как при точной постановке задачи [5, 6]) расширенную систему уравнений, включающую формулы химического равновесия, термохимические соотношения и формулы атомарного баланса для всех возможных компонентов продуктов реакции. Эта система уравнений решается только для определения константы реагирующей смеси K (с помощью (3)), если она заранее неизвестна. Из вышеизложенного ясно, что погрешность расчетов по данной модели относительно точных [5, 6] прежде всего зависит от того, насколько хорошо подобраны аппроксимационные формулы для $U(T, \mu)$ и $f(\mu)$, которые должны обладать универсальностью, т. е. быть пригодными для достаточно широкого спектра реагирующих смесей.

АНАЛИЗ ПОГРЕШНОСТЕЙ

Согласно последним результатам [4], приближенная модель равновесия базируется на следующих уравнениях:

$$U = U_{th} + U_{ch}, \quad U_{th} = \left[\frac{\alpha}{2} \left(\frac{\mu}{\mu^a} + 1 \right) + \alpha \left(\frac{\mu}{\mu^a} - 1 \right) \frac{\theta/T}{\exp(\theta/T) - 1} \right] \frac{RT}{\mu}, \quad (4)$$

$$U_{ch} = \bar{E} \left(\frac{1}{\mu} - \frac{1}{\mu'} \right), \quad (5)$$

$$\rho f(\mu) T^{-\alpha/2} [1 - \exp(-\theta/T)]^{-\alpha} \exp(\bar{E}/RT) = K, \quad (6)$$

$$f(\mu) = \frac{(1 - \mu/\mu^r)^{2\beta}}{\mu(\mu/\mu^d - 1)^\beta}, \quad (7)$$

где $\alpha = 1,5$, $\theta = 4000$ К, $\beta = 1$; U_{th} и U_{ch} — термодинамическая и химическая составляющие U соответственно; θ — эффективная температура возбуждения колебательных степеней свободы молекул; \bar{E} — средняя энергия диссоциации продуктов реакции; отношение μ/μ^a определяет среднее число атомов в молекуле; индексы a , d , r обозначают атомарное, предельно диссоциированное и предельно рекомбинированное состояния газовой смеси соответственно; μ' определяется началом отсчета энергии. Различие между μ^a и μ^d обусловлено тем, что при не очень высоких температурах (до 5000 К), характерных для процессов горения и детонации, такие вещества, как N_2 и CO , практически не диссоциируют на атомы. Поэтому в [3] рекомендуется внутреннюю химическую энергию продуктов реакции отсчитывать от предельно диссоциированного состояния, тогда в выражении для U_{ch} следует полагать $\mu' = \mu^d$. Величины μ^a , μ^d , μ^r , \bar{E} определяются однозначно по атомарному составу смеси [2, 3].

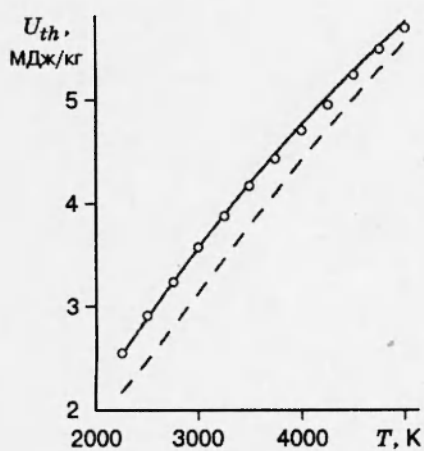


Рис. 1

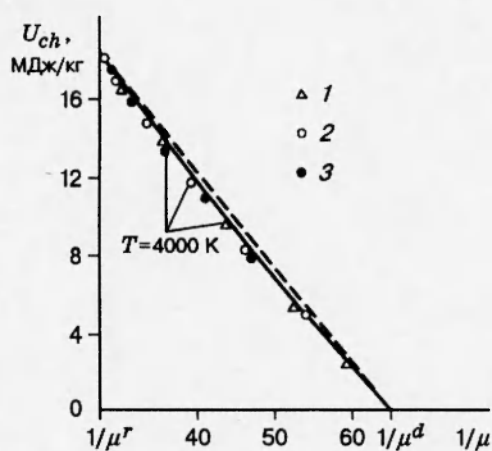


Рис. 2

Рис. 1. Зависимость $U_{th}(T)$ при $p = 30$ атм:

линии — приближенный расчет (штриховая по формуле (4), сплошная — (13)); точки — точные расчетные значения

Рис. 2. Зависимость $U_{ch}(1/\mu)$:

линии — приближенный расчет (штриховая по формуле (5), сплошная — (14)); точки — точные расчетные значения. Разность температур между соседними точками одинакового обозначения составляет 500 К; p , атм: 1 — 10, 2 — 30, 3 — 100

Уравнения (4)–(7) получены для водородокислородных смесей с инертными добавками. Однако допускается применение модели и для других смесей, в том числе и для продуктов сгорания углеводородов, компоненты которых состоят не более чем из трехатомных молекул [1].

Для проверки последнего утверждения проведены расчеты детонации Чепмена — Жуге с использованием рассматриваемой модели для ряда взрывчатых смесей (методика расчетов описана ниже). Установлено, что модель имеет максимальную точность ($\sim 2\%$) для смеси $2\text{H}_2 + \text{O}_2$, для которой она и была получена. В других случаях погрешность больше. Например, для смеси $\text{C}_2\text{H}_2 + 2,5\text{O}_2$ при $p_0 = 1$ атм и $T_0 = 298,15$ К (здесь и ниже индекс 0 обозначает начальное состояние взрывчатой смеси) получены следующие значения параметров детонации Чепмена — Жуге: $p = 36,12$ атм (+6,8 %), $\mu = 22,53$ г/моль (-3,3 %), $T = 4339$ К (+2,9 %), равновесная скорость звука $c = 1357$ м/с (+3,1 %), скорость газа $u = 1148$ м/с (+3,6 %), скорость фронта $D = 2504$ м/с (+3,3 %) (в скобках указано отклонение от точного решения [7]). Ошибка расчета U в точке Чепмена — Жуге составляет 13,6 %.

Анализ показал, что такой уровень погрешности модели обусловлен несколькими причинами.

1. В (4) не достаточно корректно определяется возможное число степеней свободы двухатомных молекул ($\mu/\mu^a = 2$). Поэтому для U_{th} выбрана нереальная величина $\theta = 4000$ К, поскольку она превышает значения характерных температур θ_s возбуждения колебательных степеней свободы двух- и трехатомных молекул, входящих в состав продуктов реакции (индекс s обозначает химический символ индивидуального вещества). Например, $\theta_{\text{H}_2\text{O}} \simeq 3500$ К, $\theta_{\text{CO}_2} \simeq 1500$ К, $\theta_{\text{H}_2} \simeq 3000$ К, $\theta_{\text{O}_2} \simeq 1500$ К, $\theta_{\text{OH}} \simeq 3000$ К,

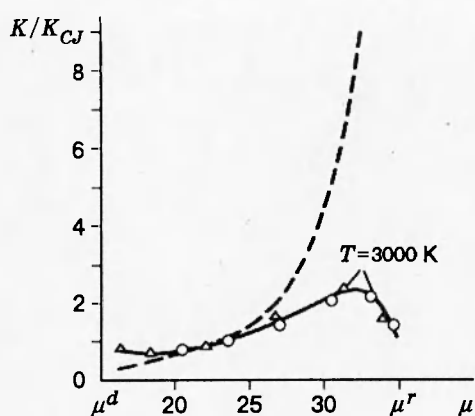


Рис. 3

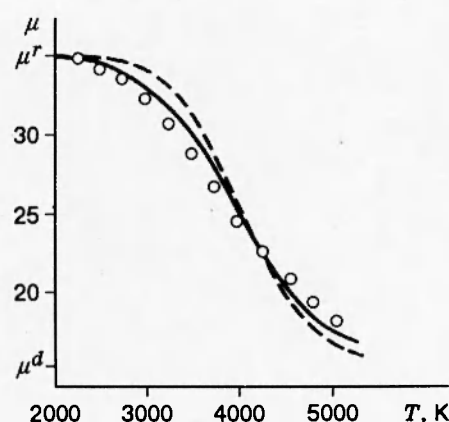


Рис. 4

Рис. 3. Результаты расчетов K/K_{CJ} при фиксированном давлении ($p = 30$ атм): штриховая линия — расчет по формуле (6), сплошная линия и точки — (15); разность температур между соседними точками одинакового обозначения составляет 500 К (обозначения точек см. на рис. 2)

Рис. 4. Зависимость $\mu(T)$ при $p = 30$ атм:
линии — приближенный расчет при $K = K_{CJ}$ (штриховая — по формуле (6), сплошная — (15)); точки — точные расчетные значения

$\theta_{N_2} \simeq 3000$ К, $\theta_{CO} \simeq 3000$ К (θ_s при аппроксимации термодинамических данных [8] в диапазоне $T = 200 \div 5000$ К оценивается зависимостью, аналогичной (4)). Точность формулы (4) порядка одной степени свободы ($\pm RT/(2\mu)$), т. е. $\sim 10\%$ (рис. 1; на всех рисунках представлены расчетные данные для продуктов сгорания смеси $C_2H_2 + 2,5O_2$ в равновесном состоянии).

2. Приближенная модель равновесия не учитывает такого закономерного факта (например, см. [9]): при переходе от предельно рекомбинированного состояния (r -состояния) к предельно диссоциированному (d -состоянию) вначале происходит диссоциация трехатомных молекул на двухатомные: $2CO_2 \rightarrow 2CO + O_2$, $2H_2O \rightarrow 2H_2 + O_2$ (либо $2H_2O \rightarrow 2OH + H_2$). Вблизи d -состояния трехатомных молекул в реагирующей смеси уже нет, поэтому могут диссоциировать только двухатомные молекулы: $OH \rightarrow O + H$, $H_2 \rightarrow 2H$, $O_2 \rightarrow 2O$. Эффективная энергия диссоциации $E = dU_{ch}/d(1/\mu)$ продуктов сгорания углеводородов вблизи r -состояния ($E = E^r$) отличается от аналогичной величины вблизи d -состояния ($E = E^d$). Причем E^r и E^d соответственно характеризуют средние энергии диссоциации трех- и двухатомных молекул ($\bar{E} \simeq (E^r + E^d)/2$). В зависимости от состава смеси $E^r/E^d \simeq 1,1 \div 1,3$. Поэтому при аппроксимации зависимости $U_{ch}(1/\mu)$ прямой линией погрешность в области детонационных температур может достигать 6–8 % (рис. 2). Данные рассуждения справедливы, если U_{ch} считать функцией одной переменной μ , которая, в свою очередь, зависит от состава реагирующей смеси. При анализе точных равновесных расчетов явных нарушений этого условия не обнаружено. Расчетные данные при сдвиге химического равновесия группируются (с точностью до 0,5 %) вдоль единой кривой (см. рис. 2). Здесь уместно отметить более слабую зависимость μ от давления по сравнению с зависимостью $\mu(T)$. Чтобы скомпенсировать отклонение μ от первоначального значения при изменении температуры всего на 10 %, необходимо изменить давление более чем

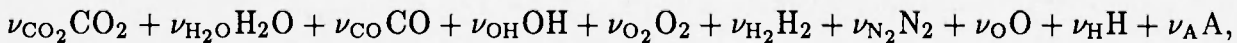
в 3 раза.

3. Слабое место модели — определение константы K для заданного атомарного состава смеси, поскольку для ее оценки необходимо использовать результаты точных равновесных расчетов. Любой паре конкретных значений p_* и T_* (точке «привязки») в состоянии равновесия соответствует определенное значение μ_* , а с учетом (6) — и $K_* = K(\mu_*, p_*, T_*)$. Из-за недостаточно хорошей аппроксимации U_{th} , U_{ch} и $f(\mu)$ значение K_* вблизи r -состояния может на порядок отличаться от K_* , определенного вблизи d -состояния (рис. 3, где K обезразмерена на K_{CJ} — значение K_* , определенное в точке Чепмена — Жуге). В результате приемлемая (до 1 %) погрешность расчета μ по (6) возможна лишь в узком диапазоне p и T относительно точки «привязки». Вне этого диапазона погрешность может достигать 10 % (рис. 4). На возникший естественный вопрос: какое значение K_* использовать для приближенных расчетов, т. е. что выбрать в качестве точки «привязки», ответа в [1–4] нет.

Отмеченные недостатки можно устранить и тем самым повысить точность приближенной модели равновесия.

УТОЧНЕНИЕ МОДЕЛИ

Атомарный состав реагирующей смеси будем характеризовать относительной концентрацией атомов кислорода n_O , углерода n_C ($n_C \leq n_O$), водорода n_H , азота n_N и любых других одноатомных инертных веществ A — n_A ($\sum_{s1} n_{s1} = 1$, $\mu^a = \sum_{s1} n_{s1} \mu_{s1}$, где индекс 1 подчеркивает, что вещество s одноатомное: $s1 = \{O, C, H, N, A\}$). Полагаем, что продукты реакции могут иметь только следующий равновесный состав (доля остальных веществ незначительна):



где ν_s — мольная доля вещества s ($\sum_s \nu_s = 1$, $\mu = \sum_s \nu_s \mu_s$). Тогда с учетом [2, 3] имеем для d -состояния:

$$\begin{aligned} \nu_{CO_2}^d &= \nu_{H_2O}^d = \nu_{O_2}^d = \nu_{OH}^d = \nu_{H_2}^d = 0, & \nu_{CO}^d &= n_C/n^d, & \nu_{N_2}^d &= n_N/(2n^d), & \nu_O^d &= (n_O - n_C)/n^d, \\ \nu_H^d &= n_H/n^d, & \nu_A^d &= n_A/n^d, & \mu^d &= \mu^a/n^d, & n^d &= n_O + n_H + n_N/2 + n_A, & U_{ch}^d &= 0; \end{aligned}$$

для r -состояния, если $n_O \geq 2n_C + n_H/2$ (избыток кислорода), то

$$\begin{aligned} \nu_{H_2}^r &= \nu_{OH}^r = \nu_O^r = \nu_H^r = \nu_A^r = 0, & \nu_{CO_2}^r &= n_C/n^r, & \nu_{H_2O}^r &= n_H/(2n^r), & \nu_{N_2}^r &= n_N/(2n^r), \\ \nu_{O_2}^r &= (n_O/2 - n_C - n_H/4)/n^r, & \nu_A^r &= n_A/n^r, & \mu^r &= \mu^a/n^r, \end{aligned} \quad (8)$$

$$n^r = n_O/2 + n_H/4 + n_N/2 + n_A, \quad U_{ch}^r = -[\nu_{CO_2}^r (E_{CO_2} - E_{CO}) + \nu_{H_2O}^r E_{H_2O} + \nu_{O_2}^r E_{O_2}]/\mu^r.$$

Иначе

$$\begin{aligned} \nu_{O_2}^r &= \nu_{OH}^r = \nu_O^r = \nu_H^r = \nu_A^r = 0, & \nu_{CO_2}^r &= (n_C - x)/n^r, & \nu_{H_2O}^r &= (n_O - 2n_C + x)/(2n^r), \\ \nu_{CO}^r &= x/n^r, & \nu_{H_2}^r &= (n_H/2 - n_O + 2n_C - x)/n^r, & \nu_{N_2}^r &= n_N/(2n^r), & \nu_A^r &= n_A/n^r, \end{aligned}$$

$$x = \begin{cases} 0 & \text{при } n_O \geq 2n_C, \\ 2n_C - n_O & \text{при } n_O < 2n_C, \end{cases}$$

$$\mu^r = \mu^a / n^r, \quad n^r = n_C + n_H/2 + n_N/2 + n_A, \quad U_{ch}^r = -[\nu_{CO_2}^r (E_{CO_2} - E_{CO}) + \nu_{H_2O}^r E_{H_2O} + \nu_{H_2}^r E_{H_2}] / \mu^r,$$

где E_s — энергия диссоциации вещества s на атомы. Здесь U_{ch} отсчитывается от d -состояния (CO и N₂ считаются недиссоциирующими). В общем случае точное значение U_{ch} можно определить по формуле

$$U_{ch} = -\left(\sum_s \nu_s E_s\right) / \mu + n_C E_{CO} / \mu^a + n_N E_{N_2} / (2\mu^a).$$

Для справки приведем значения E_s для некоторых веществ [8]: $E_{CO_2} = 1597,893$, $E_{CO} = 1071,78$, $E_{H_2O} = 917,764$, $E_{O_2} = 493,566$, $E_{H_2} = 432,068$, $E_{OH} = 423,72$, $E_{N_2} = 941,636$ кДж/моль.

Пусть в состоянии равновесия (при некоторых значениях p и T) молярная масса смеси равна μ , а мольные доли одно-, двух- и трехатомных молекул соответственно равны $\nu_1 = \sum_s \nu_{s1}$, $\nu_2 = \sum_s \nu_{s2}$ и $\nu_3 = \sum_s \nu_{s3}$, причем

$$\nu_1 + \nu_2 + \nu_3 = 1. \quad (9)$$

Очевидно, что

$$\nu_1 + 2\nu_2 + 3\nu_3 = \frac{\mu}{\mu^a}. \quad (10)$$

На основе анализа зависимости числа степеней свободы молекул от температуры оценим для данного равновесного состояния величину термодинамической составляющей внутренней энергии

$$U_{th} = \left[3\nu_1 + \left(5 + 2 \frac{\theta/T}{\exp(\theta/T) - 1} \right) \nu_2 + \left(6 + 6 \frac{\theta/T}{\exp(\theta/T) - 1} \right) \nu_3 \right] \frac{RT}{2\mu}, \quad (11)$$

где θ определяется через известные величины ν_s^r и θ_s (см. выше):

$$\theta = \frac{\sum_{s2} \nu_{s2}^r \theta_{s2} + \sum_{s3} \nu_{s3}^r \theta_{s3}}{\nu_2^r + \nu_3^r}. \quad (12)$$

С учетом (9) и (10) преобразуем выражение (11):

$$U_{th} = \left[\frac{\mu}{\mu^a} + \frac{1 - \nu_3}{2} + \left(\frac{\mu}{\mu^a} + \nu_3 - 1 \right) \frac{\theta/T}{\exp(\theta/T) - 1} \right] \frac{RT}{\mu}. \quad (13)$$

Чтобы исключить ν_3 из (13), воспользуемся приближенной зависимостью (линейная аппроксимация) $\nu_3 = \nu_3^r (\mu - \mu^d) / (\mu^r - \mu^d)$. Действительно, в d -состоянии мольная доля трехатомных молекул равна нулю, а в r -состоянии она достигает своего максимального значения ν_3^r , которое легко определяется по атомарному составу смеси с помощью (8). Полученная формула (13) значительно лучше описывает U_{th} (см. рис. 1), чем (4). Кроме того, она позволяет с точностью $\sim 3\%$ рассчитывать U_{th} и для индивидуальных веществ (для этого достаточно представить, что смесь состоит из одного вещества s).

Чтобы улучшить описание химической составляющей внутренней энергии, будем аппроксимировать U_{ch} квадратичной зависимостью от $1/\mu$ (см. рис. 2):

$$U_{ch} = E^d \left(\frac{1}{\mu} - \frac{1}{\mu^d} \right) + e \left(\frac{1}{\mu} - \frac{1}{\mu^d} \right)^2, \quad (14)$$

где

$$E^d \approx \begin{cases} (2\nu_H^d E_{OH} + (\nu_O^d - \nu_H^d) E_{O_2}) / (\nu_H^d + \nu_O^d) & \text{при } \nu_O^d \geq \nu_H^d, \\ (2\nu_O^d E_{OH} + (\nu_H^d - \nu_O^d) E_{H_2}) / (\nu_H^d + \nu_O^d) & \text{при } \nu_H^d > \nu_O^d; \end{cases}$$

$$\epsilon = \frac{U_{ch}^r - y E^d}{y^2}, \quad y = \frac{1}{\mu^r} - \frac{1}{\mu^d}.$$

Точность (14) примерно в пять раз выше, чем (5). Погрешность расчета $U = U_{th} + U_{ch}$ по формулам (13), (14) для смеси $C_2H_2 + 2,5O_2$ в точке Чепмена — Жуге составляет менее 1 %.

Для уточненных U_{th} и U_{ch} уравнение сдвига равновесия (с учетом (3)) имеет вид

$$\rho f(\mu) T^{-\alpha/2} [1 - \exp(-\theta/T)]^{-\alpha} \exp \{[E^d + 2e(1/\mu - 1/\mu^d)]/RT\} = K, \quad (15)$$

где $\alpha = 1 + \nu_3^r (\mu^d / (\mu^r - \mu^d))$. Здесь для $f(\mu)$ в отличие от (7) показатель $\beta = \alpha$. Этот выбор основан на аппроксимации точных равновесных расчетов зависимостью (15) для ряда реагирующих смесей, значительно отличающихся по атомарному составу друг от друга. В результате точность приближенных расчетов μ возросла в 2–3 раза (см. рис. 4). Наилучшее приближение [10] между точной функцией $\mu = \mu(T, p)$ и неявной аппроксимационной функцией (15) достигается для значений K_* , определяемых при $p_* \approx 10$ атм и $T_* \approx 4000$ К, когда значение μ_* близко к $(\mu^r + \mu^d)/2$. Любопытно, что такие p_* , T_* и μ_* характерны для детонационных процессов [7]. При $\nu_3^r = 0$ погрешность (15) практически равна нулю. Это означает, что K действительно является константой и не зависит от того, при каких p_* и T_* ее определили.

На рис. 3 представлены значения K для различных точек «привязки». Для (15) K можно приблизенно считать функцией только от μ (это касается всех рассмотренных реагирующих смесей), т. е. точность этого уравнения в основном лимитируется ошибкой аппроксимации $f(\mu)$. Видно, что разброс значений K (по сравнению с (6)) существенно уменьшился. Тем не менее, если необходимо обеспечить приближенный расчет μ с погрешностью до 1 %, то одним значением $K = K_*$ во всем рабочем диапазоне давлений и температур (когда μ может изменяться от μ^r до μ^d) пользоваться нельзя. Такая точность гарантирована только для случаев, когда при течении реагирующей смеси колебания молярной массы относительно μ_* (в точке «привязки») не превосходят 5 %. К сожалению, более универсальной зависимости для $f(\mu)$ подобрать не удалось. Поэтому для повышения точности (15) нужны другие подходы, например аппроксимация функции $K(\mu)$. Оказывается, вполне достаточно аппроксимировать $K(\mu)$ квадратичной зависимостью, используя три точки «привязки», например:

- $p_* = 100$ атм, $T_* = 3000$ К ($\mu_* \approx \mu^r$),
- $p_* = 10$ атм, $T_* = 4000$ К ($\mu_* \approx (\mu^r + \mu^d)/2$),
- $p_* = 1$ атм, $T_* = 5000$ К ($\mu_* \approx \mu^d$),

чтобы приближенные расчеты практически не отличались от точных.

ПРИМЕНЕНИЕ МОДЕЛИ К РАСЧЕТУ ДЕТОНАЦИИ ЧЕПМЕНА — ЖУГЕ

Продемонстрировать возможности уточненной модели равновесия можно на примере расчета параметров продуктов детонации в точке Чепмена — Жуге. Для этой за-

Смесь	D , м/с	p , атм	u , м/с	μ , г/моль	ρ , кг/м ³	T , К	c , м/с
$C_2H_2+2,5O_2$	2426 (+0,1 %)	33,97 (+0,4 %)	1112 (+0,4 %)	23,30 (-0,1 %)	2,286 (+0,1 %)	4218 (+0,1 %)	1314
$2H_2+O_2$	2838 (+0,1 %)	18,77 (-0,1 %)	1292 (-0,1 %)	14,47 (-0,3 %)	0,901 (-0,2 %)	3673 (-0,3 %)	1546 (+0,2 %)
$C_2H_2+воздух$	1865 (+0,1 %)	19,10 (-0,2 %)	837 (-0,2 %)	28,53	2,031 (-0,2 %)	3115	1028 (+0,3 %)
$H_2+воздух$	1970 (+0,2 %)	15,59	873 (-0,3 %)	23,93	1,543	2947	1096 (+0,6 %)
$2CO+O_2$	1800 (+0,1 %)	18,53 (+0,3 %)	823 (+0,2 %)	34,50 (-0,1 %)	2,209 (+0,2 %)	3527 (+0,1 %)	977
CH_4+2O_2	2399 (+0,3 %)	29,55 (+0,7 %)	1106 (+0,3 %)	20,99 (-0,4 %)	2,023	3738 (+0,3 %)	1293 (+0,3 %)

Примечание. В скобках указано отклонение от точного значения [7]. Состав топливовоздушных смесей стехиометрический.

дачи система решаемых уравнений кроме (1), (13)–(15) включала в себя газодинамические соотношения на скачке (детонационном фронте), а именно: законы сохранения массы $\rho_0 D = \rho(D-u)$, импульса $p = p_0 + \rho_0(D-u)^2$, энергии $U_0 + p_0/\rho_0 + D^2/2 = U + p/\rho + (D-u)^2/2$ и условие Чепмена — Жуге относительно равновесной скорости звука c :

$$D - u = c, \quad c = \left\{ \frac{p/\rho^2 - (\partial U/\partial \rho)_p}{(\partial U/\partial p)_\rho} \right\}^{1/2}.$$

Здесь D — скорость детонационного фронта, который распространяется по неподвижной взрывчатой смеси с начальными параметрами p_0 , ρ_0 , U_0 ; u — скорость продуктов детонации. Для решения данной системы уравнений использовался метод Ньютона с итерациями по p , последовательность значений которого рассчитывалась по формуле [7]:

$$p_{k+1} = p_k \exp \{ A[1 - (1/M_k)] \},$$

где $A = M_k \cdot M_{k-1}/(M_{k-1} - M_k) \cdot \ln(p_k/p_{k-1})$, $M = (D - u)/c$ — число Маха, k — номер итерации. Значение $U_0 = U_{th,0} + U_{ch,0}$ задавалось из [8]. Для $K(\mu)$ выбрана линейная аппроксимация с двумя точками «привязки»: а) и б) (см. выше), так как для этой задачи более высокие порядки аппроксимации не дают выигрыша в точности. Константы μ^a , μ^d , μ^r , ν_3^r и U_{ch}^r определялись с помощью (8). Результаты расчетов для ряда взрывчатых смесей при начальных значениях $p_0 = 1$ атм и $T_0 = 298,15$ К приведены в таблице. Видно, что погрешность приближенных расчетов менее 1 %.

Таким образом, при уточнении приближенной модели равновесия (практически без усложнения формул) в несколько раз уменьшена ошибка аппроксимации термодинамической и химической составляющих внутренней энергии U . Для нового выражения U проведена корректировка и повышена точность уравнения сдвига равновесия, которое позволяет определять молярную массу реагирующей смеси в зависимости от давления (плотности) и температуры. Показано, что погрешность расчетов детонации Чепмена — Жуге по уточ-

ненной модели почти на порядок меньше, чем для аналогичных расчетов по [1–4].

ЛИТЕРАТУРА

1. Николаев Ю. А. Модель кинетики химических реакций при высоких температурах // Физика горения и взрыва. 1978. Т. 14, № 4. С. 73–76.
2. Николаев Ю. А., Фомин П. А. О расчете равновесных течений химически реагирующих газов // Физика горения и взрыва. 1982. Т. 18, № 1. С. 66–72.
3. Николаев Ю. А., Фомин П. А. Приближенное уравнение кинетики в гетерогенных системах типа газ — конденсированная фаза // Физика горения и взрыва. 1983. Т. 19, № 6. С. 49–58.
4. Николаев Ю. А., Зак Д. В. Согласование моделей химических реакций в газах со вторым началом термодинамики // Физика горения и взрыва. 1988. Т. 24, № 4. С. 87–90.
5. Щетников Е. С. Физика горения газов. М.: Наука, 1965.
6. Физика взрыва / Под ред. К. П. Станюковича. М.: Наука, 1975.
7. Николаев Ю. А., Топчян М. Е. Расчет равновесных течений в детонационных волнах в газах // Физика горения и взрыва. 1977. Т. 13, № 3. С. 393–404.
8. Термодинамические свойства индивидуальных веществ / Под ред. В. П. Глушко. М.: Наука, 1978. Т. 1, 2, кн. 2.
9. Варгафтик Н. Б. Справочник по теплофизическим свойствам газов и жидкостей. М.: Наука, 1972.
10. Калиткин Н. Н. Численные методы. М.: Наука, 1978.

*Поступила в редакцию 17/IV 1995 г.,
в окончательном варианте — 2/X 1995 г.*
